

# РЕЗОНАНСНЫЕ СОСТОЯНИЯ В МОНОКРИСТАЛЛАХ PbTe<Ti>, ВЫРАЩЕННЫХ МЕТОДОМ ЧОХРАЛЬСКОГО

Тетеркин В. В., Белоконь С. А.

В теллуриде свинца таллий является акцептором и образует резонансные состояния в валентной зоне [1]. В присутствии дополнительной электроактивной примеси Ti проявляет амфотерные свойства, что связано с особенностями заполнения резонансных состояний дырками [1, 2]. До настоящего времени исследовались легированные Ti поликристаллы и монокристаллы, полученные методом Бриджмена—Стокбаргера [1–4]. Большая концентрация собственных дефектов (вакансий Pb) в *p*-PbTe обусловила высокие уровни легирования — обычно концентрация примеси в образцах превышала  $N_{\text{Ti}} = 1 \cdot 10^{19} \text{ см}^{-3}$ . В меньшей степени исследованы свойства монокристаллов с относительно низким уровнем легирования ( $N_{\text{Ti}} < 1 \cdot 10^{19} \text{ см}^{-3}$ ) при температурах  $T \leq 77 \text{ K}$ .

В настоящей работе сообщается об особенностях электрофизических свойств монокристаллов PbTe<Ti>, выращенных методом Чохральского. Примесь таллия вводилась в расплав. Концентрация таллия в образцах тщательно контролировалась с помощью химико-спектрального анализа. Были исследованы образцы с концентрацией примеси в твердой фазе  $N_{\text{Ti}} = 1.2 \cdot 10^{18} \div 1.8 \cdot 10^{19} \text{ см}^{-3}$ . Концентрация неконтролируемых примесей в образцах не превышала  $1 \times 10^{17} \text{ см}^{-3}$ . В нелегированном PbTe, выращенном по тому же методу, концентрация дырок при  $T = 4.2 \text{ K}$  составляла  $\sim 3 \cdot 10^{18} \text{ см}^{-3}$ , а температурные зависимости постоянной Холла  $R_H$  имели характерный вид, обусловленный сложным строением валентной зоны [5].

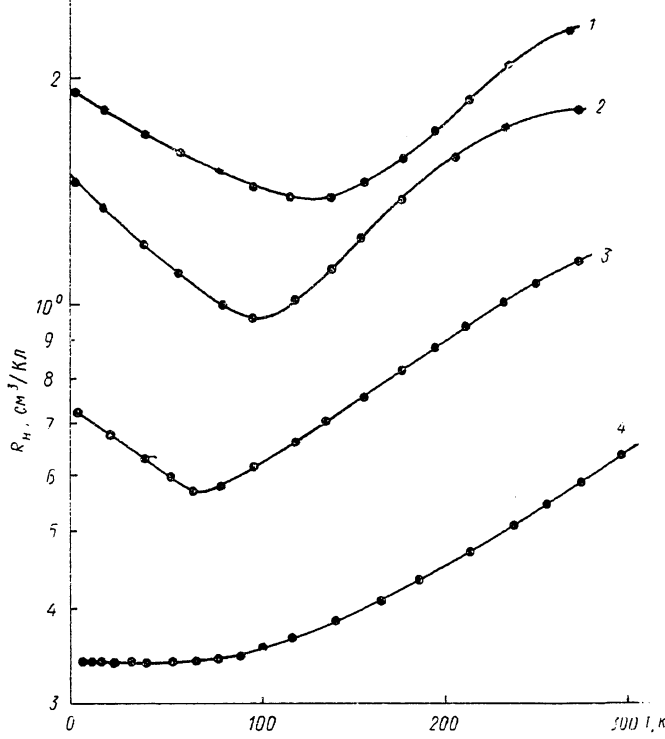
Введение примеси таллия в количестве  $N_{\text{Ti}} \geq 1.2 \cdot 10^{18} \text{ см}^{-3}$  существенным образом изменяло вид зависимостей  $R_H(T)$  (см. рисунок). Их особенностью является наличие минимума, сдвигающегося в область низких температур при увеличении концентрации примеси до значений  $9.8 \cdot 10^{18} \text{ см}^{-3}$ . При более высоких значениях  $N_{\text{Ti}}$  падающий участок на зависимостях  $R_H(T)$  при  $T = 4.2 \text{ K}$  не наблюдался, а качественный вид зависимостей не отличался от исследованных, например, в поликристаллах [6] (см. рисунок). Количественное различие заключается в том, что в монокристаллах с концентрацией дырок при  $77 \text{ K}$   $p \approx 1 \cdot 10^{19} \text{ см}^{-3}$  отношение  $R_H^{300}/R_H^{77} \approx 1.9$ , в то время как в поликристаллах это отношение не превышало 1.5 [6]. Более быстрый рост  $R_H(T)$  при  $77 \text{ K}$  по сравнению с нелегированными кристаллами является одним из доказательств существования резонансных состояний [1]. Показанные на рисунке зависимости  $R_H(T)$  в PbTe *p*-типа проводимости при наличии вырождения носителей и относительно низкого уровня легирования только примесью таллия ранее, по-видимому, не наблюдались. В работе [2] изменение вида зависимостей  $R_H(T)$  при изменении степени заполнения резонансной полосы Ti путем дополнительного легирования натрием наблюдалось при значительно более высоких значениях концентрации примеси ( $\sim 2 \text{ ат\%}$ ) и  $T \geq 77 \text{ K}$ .

Как показано в [3], положение резонансного уровня изменяется в зависимости от содержания примеси от  $E_{\text{Ti}} = 0.16 \text{ эВ}$  при  $N_{\text{Ti}} = 0.3 \text{ ат\%}$  до  $E_{\text{Ti}} = 0.21 \text{ эВ}$  при  $N_{\text{Ti}} = 2.0 \text{ ат\%}$ . При более низких значениях  $N_{\text{Ti}}$  данные по положению резонансного уровня отсутствуют. Если предположить, что  $E_{\text{Ti}}$  не зависит от  $N_{\text{Ti}}$  до значений  $\sim 0.3 \text{ ат\%}$ , то увеличение концентрации дырок при  $T \geq 4.2 \text{ K}$  в образцах с концентрацией Ti, меньшей  $9.8 \cdot 10^{18}$ , нельзя связать с заполненным электронами резонансным уровнем, лежащим глубоко в валентной зоне. В этом случае должны преимущественно осуществляться термические забросы дырок на резонансный уровень при  $T \geq 4.2 \text{ K}$ .

Зависимости  $R_H(T)$  нельзя объяснить, например, существованием двух уровней. Как видно из рисунка, холловская концентрация дырок  $p = 1/eC_R$  при  $4.2 \text{ K}$  растет с увеличением  $N_{\text{Ti}}$ , и в образцах с содержанием примеси  $1.8 \times 10^{19} \text{ см}^{-3}$   $p_{4.2} \approx 1.7 \cdot 10^{19} \text{ см}^{-3}$ . Поскольку таллий в PbTe находится преимущественно в виде однозарядных ионов  $\text{Ti}^+$ , можно сделать вывод, что из значений

$N_{T1}=1.8 \cdot 10^{19}$  см<sup>-3</sup> в исследованных образцах не образуются электроактивные дефекты в количествах, сравнимых с  $N_{T1}$ .

Объяснить зависимости  $R_H(T)$  можно, основываясь на результатах работы [3], по зависимости положения резонансного уровня от концентрации таллия и степени его заполнения дырками. Для этого необходимо допустить, что при 4.2 К в образцах с  $N_{T1} < 9.8 \cdot 10^{18}$  см<sup>-3</sup> резонансный уровень расположен выше уровня Ферми. Поскольку из-за гибридизации зонных и примесных состояний уровень может быть значительно уширен (образуется полоса резонансных состояний [3, 4]), необходимо, чтобы выше уровня Ферми находился центр его тяжести. Вследствие относительно низкой плотности примесных состояний заполнение уровня может изменяться в широких пределах путем термических



Температурные зависимости постоянной Холла  $R_H$  в монокристаллах PbTe<(Tl)>.

Концентрация примеси, см<sup>-3</sup>: 1 —  $1.2 \cdot 10^{18}$ , 2 —  $2.4 \cdot 10^{18}$ , 3 —  $9.8 \cdot 10^{18}$ , 4 —  $1.8 \cdot 10^{19}$ .

забросов на уровень электронов из зонных состояний. Действительно, в образцах с  $N_{T1}=1.2 \cdot 10^{18}$  см<sup>-3</sup> разность концентраций дырок при  $T=130$  К, соответствующей минимуму  $R_H(T)$ , и при 4.2 К  $\Delta p \approx 1.3 \cdot 10^{18}$  см<sup>-3</sup>. Уменьшение  $R_H$  обусловлено переходом электронов из зонных состояний на резонансный уровень. Степень заполнения уровня электронами в минимуме  $k \geq 0.5$ , поэтому при  $T > 130$  К наблюдаются преимущественные забросы дырок на уровень.

При увеличении  $N_{T1}$  резонансный уровень сдвигается в глубь зоны. В образце с  $N_{T1}=9.8 \cdot 10^{18}$  см<sup>-3</sup> отмеченная выше разность —  $\Delta p \approx 3 \cdot 10^{18}$  см<sup>-3</sup>, что можно объяснить вхождением уровня Ферми в полосу резонансных состояний. Наконец, при  $N_{T1}=1.8 \cdot 10^{19}$  см<sup>-3</sup>  $R_H(T)$  не зависит от температуры до 80 К, а  $p_{4.2} \approx N_{T1}$ . Это означает, что уровень Ферми расположен вблизи середины полосы резонансных состояний, а переходы носителей из зонных состояний на уровень, и наоборот, равновероятны. При использовании зонных параметров PbTe, приведенных в [7], было оценено положение уровня Ферми в исследованных образцах. При 4.2 К он отстоит от потолка зоны  $|L_6^+|$  на расстояние  $E_F = -0.055 \pm 0.160$  эВ. В образцах с наибольшим содержанием примеси можно принять  $E_{T1}=E_F$ . В образцах с наименьшим содержанием примеси уменьшение постоянной Холла начинается с 4.2 К, поэтому можно, по-видимому, принять,

что при низких температурах резонансный уровень расположен выше уровня Ферми на расстоянии  $\sim kT$ .

Движение резонансного уровня в глубь зоны в образцах с  $N_{Ti} \leqslant 9.8 \times 10^{18} \text{ см}^{-3}$  может быть связано не только с изменением концентрации примесей, но и с изменением соотношения концентрации таллия и вакансий свинца. Ваканции свинца при этом могут играть роль, аналогичную примеси натрия в PbTe с  $N_{Ti} \sim 2 \text{ ат\%}$  [3]. Из вышесказанного следует, что в теллуриде свинца с относительно невысоким уровнем легирования положение резонансного уровня может зависеть от способа приготовления кристаллов.

### Список литературы

- [1] Кайданов В. И., Равич Ю. И. // УФН. 1985. Т. 145. В. 1. С. 51—86.
- [2] Кайданов В. И., Немов С. А., Равич Ю. И., Зайцев А. М. // ФТП. 1983. Т. 17. В. 9. С. 1613—1617.
- [3] Машкова Т. Р., Немов С. А. // ФТП. 1985. Т. 19. В. 10. С. 1864—1867.
- [4] Кайданов В. И., Немов С. А. // ФТП. 1981. Т. 15. В. 3. С. 542—550.
- [5] Равич Ю. И., Ефимова Б. А., Смирнов И. А. Методы исследования полупроводников в применении к халькогенидам свинца PbTe, PbSe, PbS. М., 1968. 384 с.
- [6] Грузинов Б. Ф., Драбкин И. А., Елисеева Ю. Я., Лев Е. Я., Нельсон И. В. // ФТП. 1979. Т. 13. В. 7. С. 1308—1313.
- [7] Сизов Ф. Ф., Тетеркин В. В., Пляцко С. В. // ФТП. 1984. Т. 18. В. 9. С. 1608—1611.

Институт полупроводников АН УССР  
Киев

Получено 3.03.1989  
Принято к печати 10.07.1989

ФТП, том 23, вып. 11, 1989

### НАПРЯЖЕНИЯ НЕСООТВЕТСТВИЯ В ГЕТЕРОСТРУКТУРЕ $Pb_{0.93}Sn_{0.07}Se-PbS_{0.05}Se_{0.95}$

Гайдуков Ю. П., Гаськов А. М., Малинский И. М.,  
Никифоров В. Н., Васильева О. Н.

Одним из основных механизмов деградации полупроводниковых приборов, используемых в оптоэлектронике и инфракрасной спектроскопии, является генерация дислокаций в эпитаксиальных гетероструктурах, обусловленная напряжениями несоответствия в переходных слоях. Напряжения возникают как из-за рассогласования постоянных кристаллических решеток компонентов структуры, так и из-за различия их коэффициентов теплового расширения. Последнее происходит вследствие того, что синтез гетероструктур осуществляется обычно при температурах, существенно превышающих их рабочие температуры. Задачей настоящего исследования являлась оценка напряжений несоответствия в перспективной гетероструктуре  $Pb_{0.93}Sn_{0.07}Se-PbS_{0.05}Se_{0.95}$ , согласованной по параметру кристаллической решетки.

Напряжения несоответствия  $\sigma$  в гетероструктуре определяются профилем распределения элементов в переходном слое (в данном случае Pb, Sn, Se и S) и связанным с ним градиентом постоянной решетки  $a$ , а также упругими постоянными компонентов структуры  $C_{ij}$ .

В модели «жесткого сцепления» [1] напряжения рассчитываются по формуле

$$\sigma(\Delta a) = \frac{E}{1 - \nu} f, \quad (1)$$

где  $E$  — модуль Юнга,  $\nu$  — коэффициент Пуассона. Функция  $f = \Delta a/a$  описывает изменение постоянной решетки в переходном слое, возникающее из-за взаимодиффузии элементов. Модуль Юнга и коэффициент Пуассона характеризуют